

利用固体类 Fenton 试剂降解五氯酚的探讨

杨冰^{1,2}, Pignatello Joseph J², 曲东^{1*}

(1. 西北农林科技大学资源环境学院, 陕西 杨凌 712100; 2. Department of Environmental Sciences, The Connecticut Agricultural Experiment Station, 123 Huntington Street, P.O. Box 1106, New Haven, Connecticut 06504–1106, United States)

摘要:采用四种固体过氧化物(过氧化钙, CP; 过硼酸钠, SPB; 过碳酸钠, SPC; 过氧化尿素, UHP)以及 H₂O₂ 和两种铁源[(Fe₃(PO₄)₂ 和 FeSO₄],通过室内模拟试验,研究不同过氧化物和 Fe(Ⅱ)源组合构成的(类)Fenton 反应对石英砂中五氯酚(PCP)的降解能力,探讨了影响类 Fenton 试剂活性成分有效性和持续性的主要因素。结果表明,使用 FeSO₄ 为铁源,添加 CP、SPB 或 SPC 使体系 pH 快速升高至 10~12,极大抑制了铁源有效性,仅在反应初期对 PCP 有快速降解,24 h 降解率分别为 22.0%、14.6% 和 17.3%;添加 H₂O₂ 或 UHP 对体系的 pH 无明显影响,24 h 降解率为 86.5% 和 83.8%;但在 24~48 h,PCP 降解均无明显增加,表明活性成分已殆尽。使用人工合成的纳米级 Fe₃(PO₄)₂ 为铁源,能够持续稳定地提供 Fe(Ⅱ),在 0~20 d 实验期间 PCP 均有持续降解,在 20 d 时 CP、SPB、SPC 和 UHP 对 PCP 的降解率分别为 30.1%、13.6%、8.6%、37.0%,H₂O₂ 对 PCP 在 16 d 时的降解率为 55.6%。因此,使用致碱性过氧化物作为类 Fenton 试剂时,需要添加 pH 缓冲剂以提高对有机物的降解率;UHP 在一定程度上可以替代 H₂O₂。尽管固体类 Fenton 试剂对石英砂中 PCP 的去除率低于传统 Fenton 试剂,但活性成分持续时间能由不到 24 h 增加至 20 d 以上,故在土壤污染修复中具有更大潜力。

关键词:五氯酚; 化学降解; 固体过氧化物; 铁矿物; 芬顿反应

中图分类号:X703.1 文献标志码:A 文章编号:1672–2043(2015)10–1914–07 doi:10.11654/jaes.2015.10.011

Decontamination of Pentachlorophenol Using Solid Fenton-like Reagents

YANG Bing^{1,2}, Pignatello Joseph J², QU Dong^{1*}

(1. College of Natural Resources and Environment, Northwest A&F University, Yangling 712100, China; 2. Department of Environmental Sciences, The Connecticut Agricultural Experiment Station, 123 Huntington Street, New Haven, Connecticut 06504–1106, United States)

Abstract: In this study, four types of solid peroxides (calcium peroxide, CP; sodium perborate, SPB; sodium percarbonate, SPC; urea hydrogen peroxide, UHP), H₂O₂, and two iron sources [Fe₃(PO₄)₂ and FeSO₄] were used to investigate pentachlorophenol (PCP) degradation in silica sand slurries by Fenton-like reactions in incubation experiment. The main factors influencing the effectiveness and sustainability of active components of Fenton-like reagents were explored. Adding CP, SPB or SPC quickly increased solution pH to 10~12 and significantly inhibited Fe(Ⅱ) effectiveness. However, H₂O₂ or UHP showed little effect on solution pH. The rate of PCP degradation was 22.0%, 14.6%, 17.3%, 86.5% and 83.8%, respectively, for CP, SPB, SPC, UHP and H₂O₂ with Fe(Ⅱ) source in 24 hours, and no obvious further PCP degradation was observed from 24 to 48 hours. For treatments with Fe₃(PO₄)₂ as a steady Fe(Ⅱ) source, however, PCP showed continuous degradation during 20 d experimental period. The PCP degradation rate on the 20th day was 30.1%, 13.6%, 8.6% and 37.0%, for CP, SPB, SPC and UHP, respectively. Applying H₂O₂ resulted in 55.6% degradation of PCP in 16 days in Fe₃(PO₄)₂ Fenton reaction. The present results show that pH buffer is required for a better decontamination performance when using alkaline-inducing solid peroxides (CP, SPB and SPC) as Fenton-like reagents. UHP might be an alternative for H₂O₂. Solid Fenton-like reagents significantly extend active components' life time from less than 24 hours to more than 20 days, thus possessing greater potential for soil contamination remediation.

Keywords: pentachlorophenol; chemical degradation; solid peroxide; iron mineral; Fenton reaction

收稿日期:2015–07–10

基金项目:国家自然科学基金面上项目(41171204); National Institute of Food and Agriculture, U.S. Department of Agriculture(Hatch program)

作者简介:杨冰(1985—),男,四川南充市人,博士研究生,主要从事环境化学研究。E-mail:bingyang@nwafu.edu.cn

*通信作者:曲东 E-mail:dongqu@nwafu.edu.cn

Fenton反应通过 Fe^{2+} 和 H_2O_2 反应生成强氧化剂羟基自由基($\cdot\text{OH}$)，能够快速氧化分解大多数有机物^[1]，广泛用于去除水体有机污染物^[2-4]。但在污染土壤修复中，由于土壤组成的复杂性和低传质性，要求Fenton试剂有足够的持续有效性来增加扩散半径^[5]。在微生物作用、土壤颗粒表面催化、土壤中过渡金属离子催化下， H_2O_2 极易发生无效分解，生成 O_2 和 H_2O ^[6-8]。同时，传统Fenton反应要求最佳pH在3~4^[2,5]，而实际土壤由于具有较强的pH缓冲能力很难满足这一要求。因此，传统Fenton试剂(FeSO_4 和 H_2O_2)在土壤有机污染修复中受到很大限制。

已有研究在均相体系中使用固体过氧化物代替 H_2O_2 用于(类)Fenton反应，并能有效降解有机污染物。如在含 Fe^{3+} -EDTA的水溶液(pH 6~9)中，使用过氧化钙(CP)比 H_2O_2 对四氯乙烯(TCE)的矿化率更高，原因是CP缓慢水解能可控地释放出 H_2O_2 ，减少了 H_2O_2 的无效分解^[9]。在过碳酸钠(SPC)与 FeSO_4 或添加有螯合剂的 Fe^{2+} 体系中，TCE^[10-11]和苯^[12]能得到有效地降解。但在非均相体系，如污染土壤中，使用固体过氧化物基于Fenton化学降解有机物的研究还较少。同时，稳定的Fe(Ⅱ)来源是保证Fenton反应可持续性的另一重要因素，可通过循环使用Fe(Ⅲ)产物或者额外提供Fe(Ⅱ)源(如铁矿物)来实现。这种方法通常要求反应体系有足够的酸度^[2,7]，或者需要添加螯合剂使Fe(Ⅲ)处于溶解状态^[13-14]。已报道用来催化Fenton反应的天然铁矿物主要有赤铁矿、水铁矿、针铁矿、纤铁矿、黄铁矿及磁铁矿^[15-18]。而人工合成的纳米级铁氧化物，由于其易分散、稳定性好、适应的pH范围宽，具有比天然矿物更好的催化性能，已有诸多研究将其用于类Fenton反应^[19-21]。

本研究以五氯酚(PCP)污染的石英砂模拟污染土壤，选用目前研究报道较多并工业化大量生产的四种固体过氧化物——CP、SPB(过硼酸钠)、SPC、UHP(过氧化尿素)，以及人工合成的纳米级 $\text{Fe}_3(\text{PO}_4)_2$ 作为固体类Fenton试剂，与传统的 H_2O_2 和 FeSO_4 组合，探究不同试剂用量、 H_2O_2 和不同固体过氧化物与 FeSO_4 或 $\text{Fe}_3(\text{PO}_4)_2$ 组合对PCP的降解能力差异，阐明影响固体类Fenton试剂活性成分有效性和持续性的主要因素，为进一步提高固体类Fenton试剂在非均相体系中降解有机污染物的效率提供必要的依据。

1 材料与方法

1.1 实验试剂与仪器

1.1.1 主要试剂

SPC、SPB、UHP、 $(\text{NH}_4)_2\text{Fe}(\text{SO}_4)_2 \cdot 6\text{H}_2\text{O}$ 、CP、 FeSO_4 、 $\text{K}_2\text{HPO}_4 \cdot 3\text{H}_2\text{O}$ 均为分析纯， H_2O_2 (W/W=30%)、CP[75% CaO_2 /25% $\text{Ca}(\text{OH})_2$]均购自美国Sigma-Aldrich公司。 NH_4VO_3 (钒酸铵，分析纯)购自美国Matheson Coleman & Bell公司，KI(分析纯)和石英砂(40~100目)购自美国Acros Organics公司，甲醇(色谱纯)购自美国Fisher Chemical公司。实验用水均为超纯水。

1.1.2 仪器

高效液相色谱仪(安捷伦R1100)，色谱柱4.6×150 mm XDB-C18柱，紫外检测器Diode-array。紫外可见分光光度计Hewlett-Packard 8452A。pH计Orion 720A，玻璃电极。

1.2 制备五氯酚污染的石英砂

于通风厨内，将500 g石英砂置于2 L烧杯中，添加5 g·L⁻¹PCP的丙酮储备液25 mL，并额外分次添加共100 mL丙酮，添加过程中保持搅拌，直到丙酮挥发完全。此方法得到的石英砂中PCP含量约为250 mg·kg⁻¹，折合0.94 mmol·kg⁻¹。

1.3 制备纳米级 $\text{Fe}_3(\text{PO}_4)_2$

采用Scaccia等^[22]报道的方法合成纳米级 $\text{Fe}_3(\text{PO}_4)_2$ ，颗粒物粒径为80~200 nm。室温下，将250 mL 0.1 mol·L⁻¹ $(\text{NH}_4)_2\text{Fe}(\text{SO}_4)_2$ 溶液(N_2 除氧)缓慢加入含有250 mL 0.067 mol·L⁻¹ K_2HPO_4 溶液的1 L三角瓶中，磁力搅拌器保持搅拌，pH计连续监测，瓶内上方持续通入 N_2 减少空气影响。使用1:1稀释后的浓氨水调节pH至6.5，白蓝色沉淀即出现，保持pH 6.5约10 min，撤去pH计，停止搅拌，Parafilm膜封口，静置7 d，瓶内溶液和沉淀使用0.45 μm膜滤器过滤，高纯水多次冲洗，所得沉淀60 °C下真空干燥24 h，呈均匀粉末状，于干燥试管保存待用。

1.4 实验设置

实验采用10 mL带盖玻璃试管为反应容器，以聚四氟乙烯内衬硅胶垫密封。依次加入1.0 g PCP污染的石英砂，不同用量的 FeSO_4 或合成的 $\text{Fe}_3(\text{PO}_4)_2$ 和高纯水，轻轻晃动摇匀后，加入一定量的固体过氧化物或 H_2O_2 ，快速旋紧盖子，晃动后反应开始计时。反应试管固定于垂直旋转转子上，转速60 r·min⁻¹，置于(20±0.2) °C黑暗恒温培养箱中。按设定的时间随机取样测定PCP和 H_2O_2 含量，两个重复。不同处理及试剂

添加量如下,控制反应体系液体总体积为1 mL,则PCP浓度为0.94 mmol·L⁻¹。

1.4.1 H₂O₂ 和 FeSO₄ 比例

H₂O₂:FeSO₄:PCP的摩尔比和试剂添加量如表1。

表1 不同摩尔比例的H₂O₂和FeSO₄降解PCP处理

Table 1 Molar ratios and amount of H₂O₂:FeSO₄:PCP for pentachlorophenol degradation

| H ₂ O ₂ :FeSO ₄ :PCP | H ₂ O ₂ /mL | FeSO ₄ /mL | H ₂ O/mL | H ₂ O ₂ :FeSO ₄ |
|---|-----------------------------------|-----------------------|---------------------|--|
| 1000:20:1 | 0.50 ^a | 0.50 ^c | 0 | 50 |
| 500:20:1 | 0.25 ^a | 0.50 ^c | 0.25 | 25 |
| 200:20:1 | 0.10 ^a | 0.50 ^c | 0.40 | 10 |
| 100:20:1 | 0.50 ^b | 0.50 ^c | 0 | 5 |
| 100:10:1 | 0.50 ^b | 0.25 ^c | 0.25 | 10 |
| 100:4:1 | 0.50 ^b | 0.10 ^c | 0.40 | 25 |
| 100:2:1 | 0.50 ^b | 0.50 ^d | 0 | 50 |

注:^a,^b 分别表示2.0、0.2 mol·L⁻¹的H₂O₂溶液; ^c,^d 分别表示37.5、3.75 mmol·L⁻¹的FeSO₄溶液。

Note: ^a,^b represent H₂O₂ solution at 2.0 and 0.2 mol·L⁻¹, respectively; ^c,^d represent FeSO₄ solution at 37.5 and 3.75 mmol·L⁻¹, respectively.

1.4.2 H₂O₂ 和 Fe₃(PO₄)₂

以铁源可给出的最大量Fe²⁺计算,使用H₂O₂:Fe²⁺:PCP摩尔比为100:10:1。试剂添加量为1.0 mL H₂O₂(0.1 mol·L⁻¹)+5.0 mg Fe₃(PO₄)₂。

1.4.3 固体过氧化物和FeSO₄或Fe₃(PO₄)₂

以过氧化物和铁源可给出的最大量H₂O₂和Fe²⁺计算,使用H₂O₂:Fe²⁺:PCP摩尔比为100:10:1。固体过氧化物的添加量分别为9.0 mg CP、20.0 mg UHP、9.4 mg SPB,12.8 mg SPC。铁源添加为1 mL FeSO₄溶液(9.4 mmol·L⁻¹),或5.0 mg Fe₃(PO₄)₂+1.0 mL高纯水。

1.5 测定项目及方法

1.5.1 PCP测定

添加4 mL 68%甲醇水溶液于反应试管,避光振荡浸提24 h,1800 r·min⁻¹离心15 min,上层液过滤(0.2 μm),滤液待测。PCP采用高效液相色谱(安捷伦R1100)测定,流动相为甲醇:乙酸溶液(1%)=85:15,流速1 mL·min⁻¹,柱温25 °C,检测波长304 nm,PCP保留时间约6 min。本实验石英砂中PCP回收率为94.96%±0.54%(n=6),PCP在石英砂中最低检测限(S/N=10)为0.4 mg·kg⁻¹。

1.5.2 H₂O₂含量测定

添加4 mL高纯水于反应试管,旋紧盖快速摇动,1800 r·min⁻¹离心10 min,上层液过滤(0.2 μm),滤液待测。H₂O₂的测定采用Nogueira等^[23]报道的方法。基本原理为H₂O₂和NH₄VO₃在酸性条件下反应生成橙红色VO₂⁺阳离子,测定其在450 nm的吸光值来计算

H₂O₂含量。标准工作曲线由H₂O₂溶液与NH₄VO₃反应得到,标准溶液H₂O₂含量由碘量法测定。

1.5.3 活性过氧化物的含量测定

固体过氧化物中活性过氧化物的含量采用Goi等^[24]报道的方法测定。取一定量的固体过氧化物溶解于含6%盐酸和14%磷酸的混合酸溶液,以0.5 mol·L⁻¹的高锰酸钾滴定,测得的活性过氧化物含量以“mmol H₂O₂·g⁻¹固体”计,在CP、SPB、SPC和UHP中分别为(10.79±0.08)、(9.53±0.06)、(8.41±0.09)、(10.39±0.02) mmol·g⁻¹,与试剂瓶上标注的活性氧或H₂O₂含量范围相符。

1.5.4 pH测定

添加4 mL高纯水于反应试管,快速摇匀,使用Orion 720A pH计测定,所得pH经校正体积变化导致的差异后为反应体系pH。

2 结果与分析

2.1 H₂O₂ 和 FeSO₄ 比例对PCP降解的影响

不同摩尔浓度比的H₂O₂和FeSO₄对石英砂中PCP的降解如图1所示。在FeSO₄:PCP为20:1的处理中(图1a),H₂O₂用量在50倍到5倍于FeSO₄时,PCP降解速率在6 h内随H₂O₂用量减少略有降低;但降解率差异不大,6 h后为74.6%~79.9%,24 h后为83.3%~84.0%。保持H₂O₂:PCP为100:1(图1b),FeSO₄用量为H₂O₂的1/5~1/50时,PCP降解速率在6 h内随FeSO₄用量减少有明显降低;在6 h降解率为74.6%~28.0%,但在24 h后降解率较为接近,为83.5%~78.0%。在只添加FeSO₄或H₂O₂的对照中,24 h内PCP无明显降解。在H₂O₂:FeSO₄:PCP=100:20:1和100:10:1的处理中,6 h内PCP降解率相当(约75%)。

以上结果说明在FeSO₄:PCP=20:1时,H₂O₂使用量(5~50倍于Fe²⁺)不是限制因子;而在固定H₂O₂:PCP=100:1时,Fe²⁺添加量(为H₂O₂的1/5~1/50)为影响PCP降解速率的限制因子,但对最终的降解率贡献不大。综合考虑试剂用量和PCP降解率,以下实验采用H₂O₂:FeSO₄:PCP为100:10:1。

在图1所有处理中,PCP降解率(24 h)最高值在84%左右。在H₂O₂:FeSO₄:PCP=100:10:1体系中,监测PCP和H₂O₂浓度变化,24 h后加入新鲜H₂O₂和FeSO₄,以期降解剩余PCP,结果如图2所示。反应初期,H₂O₂和PCP快速减少,6 h时剩余H₂O₂仅为5%,PCP降解率达到约80%。24 h时已检测不到H₂O₂,此

时PCP降解率比6 h略微增加(81.5%),24~29 h PCP几乎无减少,与H₂O₂耗竭有关。而在24 h时添加与初始添加量相当的H₂O₂和FeSO₄后,H₂O₂在5 h内(24~29 h)再次耗尽,PCP降解仅增加2%,仍有16%左右的PCP不能被降解,与图1中情形一致。结果表明,PCP的降解与H₂O₂密切相关,在石英砂中有约16%的PCP不能被本研究的方法降解。

2.2 固体过氧化物和FeSO₄配合对PCP降解的影响

以固体过氧化物为H₂O₂来源和FeSO₄为铁源时

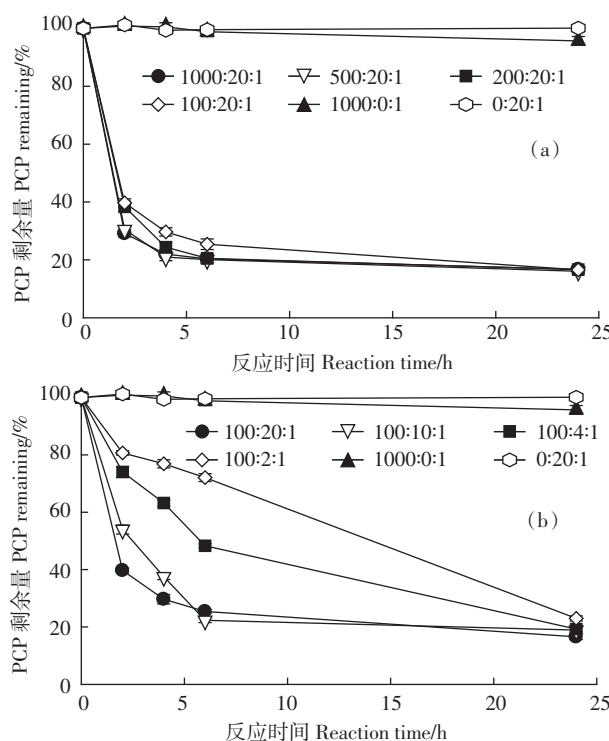
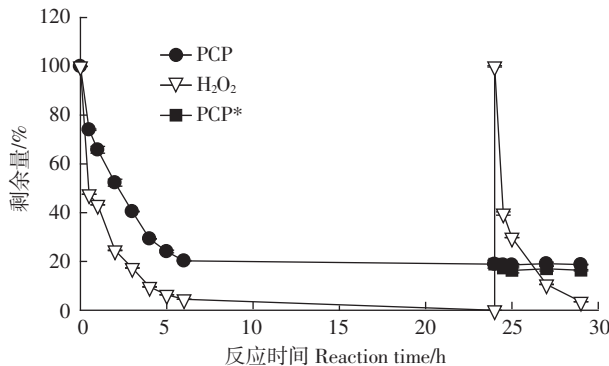


图1 不同添加比例的H₂O₂:FeSO₄:PCP对PCP的降解

Figure 1 PCP degradation in treatments with H₂O₂:FeSO₄:PCP at different molar ratio



PCP*代表在24 h添加新鲜H₂O₂和FeSO₄后PCP的变化

PCP* represents PCP change after adding fresh H₂O₂ and FeSO₄ at 24 h

图2 H₂O₂:FeSO₄:PCP = 100:10:1时体系PCP和H₂O₂的变化

Figure 2 Changes of PCP and H₂O₂ content at H₂O₂:FeSO₄:PCP of 100:10:1

对PCP的降解如图3所示。无FeSO₄添加时,SPB、SPC、UHP、H₂O₂在48 h内对PCP无明显降解,而CP对PCP在24 h和48 h内的降解率分别为10.4%和13.4%。同时添加过氧化物和FeSO₄时,SPB、SPC、UHP、H₂O₂在24 h内对PCP的降解分别为14.6%、17.3%、86.5%、83.8%,但在24~48 h基本无增加。同时添加CP和FeSO₄时,PCP在24 h和48 h内持续降解,分别为22.0%和25.9%。使用CP时,添加与不添加FeSO₄的处理中,PCP降解率在24~48 h分别增加3.9%和3.0%,二者较为接近,PCP持续降解可能主要由CP引起,而添加FeSO₄引起的Fenton反应贡献较小。

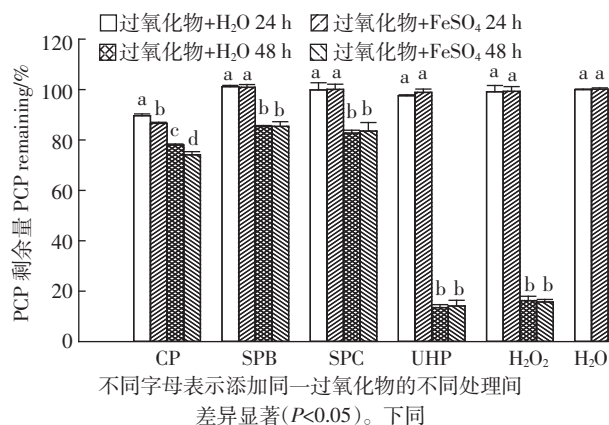


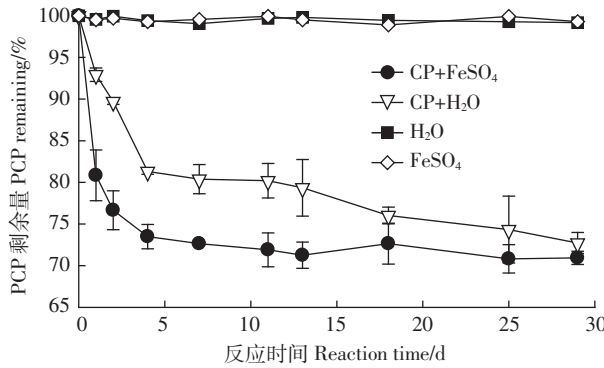
图3 不同过氧化物与FeSO₄组合对PCP的降解($P<0.05$)

Figure 3 PCP degradation in treatments with different peroxides in combination with FeSO₄ ($P<0.05$)

在本研究体系中,SPB、SPC、UHP均能较快地溶解,而CP有大部分无法溶解,仍以固体粉末形态分布在溶液中或是与石英砂相混。在CP、SPB、SPC处理中,溶液pH快速升至12.2、10.4、11.7,有FeSO₄存在时,红褐色沉淀快速出现,表明有Fe(OH)₃或Fe₂O₃生成,并附着在试管壁和石英砂中。在HP、UHP处理中,有FeSO₄存在时,pH在2~3之间,溶液呈浅黄绿色,表明Fe²⁺和Fe³⁺共同存在。

2.3 CP对PCP降解持续性的影响

为进一步探明CP对PCP降解的持续性,在添加或不添加FeSO₄的处理中对PCP在30 d内的降解进行监测(图4)。PCP快速降解主要在前4 d,降解率分别为18.7%(CP)和26.5%(CP+FeSO₄)。在4~29 d,CP+FeSO₄处理中PCP降解率增幅小于3%,表明体系能降解PCP的活性成分在第4 d后基本耗尽。而在CP处理中无FeSO₄添加时,PCP在4~29 d仍缓慢持

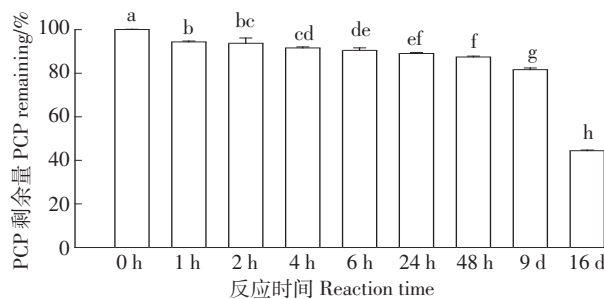
图 4 CP 和 CP+FeSO₄ 对 PCP 的降解Figure 4 PCP degradation in treatment with CP or CP+FeSO₄

续减少,降解率增幅为 8.6%,表明体系仍有部分活性氧化物持续作用。

2.4 纳米 Fe₃(PO₄)₂对 PCP 降解的影响

2.4.1 H₂O₂与 Fe₃(PO₄)₂的作用

H₂O₂和纳米 Fe₃(PO₄)₂对 PCP 在 16 d 内的降解如图 5 所示。在反应开始 1 h 内,PCP 降解率为 5.6%,而后降解明显变慢,1~24 h 降解率增加为 5.4%。PCP 在实验期间持续减少,表明活性成分一直存在。第 16 d 时,PCP 降解率为 55.6%,同时测得剩余 H₂O₂ 为 54.2 mmol·L⁻¹,约为初始添加量一半,表明体系 H₂O₂充足,导致 PCP 降解缓慢的原因可能是活性 Fe²⁺不足。在不同反应时间段 0~1 h、1~2 h、2~6 h、6~48 h、48 h~9 d、9~16 d,PCP 平均降解速率分别为 13.6、4.5、1.2、0.16、0.14、0.46 mg·kg⁻¹·h⁻¹。可见,在反应的前 6 h 内 PCP 的降解速率急剧变慢,而在 6 h~9 d 较为接近,但 9~16 d 的平均速率有所增加,为 2~9 d 的 3.3 倍。实验期间体系的 pH 保持在 4~5 之间,溶液颜色无明显变化,无其他可见沉淀生成,Fe₃(PO₄)₂仍以固体形式存在于溶液中或是与石英砂相混,表明 Fe₃(PO₄)₂在整个反应过程中较为稳定。

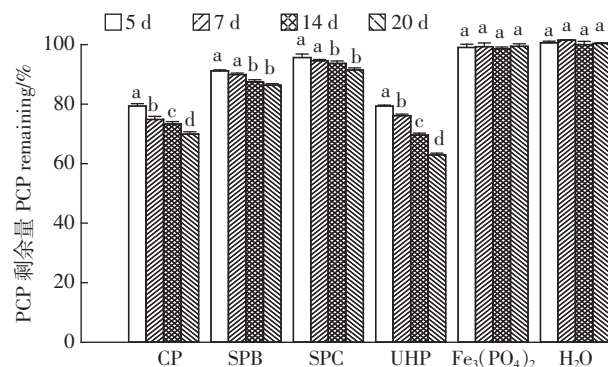


不同字母表示不同反应时间下 PCP 剩余量差异显著($P<0.05$)
Different letters represent significant differences among PCP remaining
at different reaction time($P<0.05$)

图 5 H₂O₂+Fe₃(PO₄)₂ 对 PCP 的降解Figure 5 PCP degradation in treatment with H₂O₂ plus Fe₃(PO₄)₂

2.4.2 固体过氧化物与 Fe₃(PO₄)₂的作用

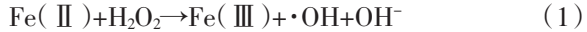
以固体过氧化物作为 H₂O₂来源与以 Fe₃(PO₄)₂为 Fe(II)源对 PCP 在 20 d 内的降解如图 6 所示。PCP 在反应初期 5 d 内快速降解,而后在 5~20 d 降解变缓,与 2.4.1 中 H₂O₂和 Fe₃(PO₄)₂对 PCP 的降解相似。在 UHP 处理中,5 d 内 PCP 降解率 20.7%,而后缓慢增加,在 7、14、20 d 时分别为 23.9%、30.4%、37.0%。在 CP、SPB、SPC 处理中,PCP 降解率在前 5 d 分别为 20.7%、8.9%、4.3%,5~20 d 内分别增加 9.4%、4.8%、4.2%。无过氧化物添加时,Fe₃(PO₄)₂对 PCP 无降解作用,石英砂中 PCP 本身在 20 d 内也无降解。

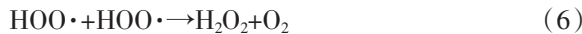
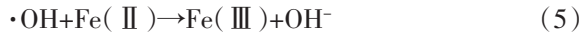
图 6 固体过氧化物+Fe₃(PO₄)₂ 对 PCP 的降解Figure 6 PCP degradation in treatments with solid peroxides and Fe₃(PO₄)₂

3 讨论

3.1 不同摩尔比例的 H₂O₂和 FeSO₄

根据 Fenton 反应中导致 H₂O₂分解为 O₂的自由基机理^[2],本实验体系中可能发生的主要反应如方程(1)~(6)。可见,在 Fenton 反应中 H₂O₂和 Fe(II)均可能与有机物竞争消耗·OH,反应(3)、(4)、(5)。过量的 H₂O₂与·OH 反应生成氧化活性较低的 HOO·,同时 HOO·与 HOO·反应生成 H₂O₂和 O₂,导致增加 H₂O₂用量却不能提高甚至降低有机物降解效率。这与我们在 2.1 中观察到的结果相符,当固定 Fe²⁺使用量,H₂O₂:PCP 在 100~1000 之间时,PCP 降解差异并不明显。而固定 H₂O₂使用量时,Fe²⁺:H₂O₂在 1/5~1/50 之间,PCP 的降解速率随初始 Fe²⁺用量的增加而显著增加。这是因为当 H₂O₂相对于 Fe²⁺过量时,初始产生的·OH 量与 Fe²⁺为等摩尔量[反应(1)]。





燕启社等^[25]在研究Fenton反应去除土壤中有机污染物时采用 $\text{H}_2\text{O}_2:\text{FeSO}_4$ 为10:1,污染物去除率在120 min内能达到65%~89%,与本实验体系中采用 $\text{H}_2\text{O}_2:\text{FeSO}_4:\text{PCP}$ 最佳比100:10:1一致,但均比水处理中常使用的 $\text{H}_2\text{O}_2:\text{Fe(II)}$ 范围100~1000^[2]更低。这是由于PCP负载在石英砂上,处于非均相体系,其中过量的 H_2O_2 对·OH的竞争消耗比在均相体系更严重。

3.2 过氧化物与 FeSO_4 组合

添加SPB、SPC于石英砂和水1:1的体系中,SPB、SPC均能快速溶解并释放出 H_2O_2 ^[26],且溶液pH快速升高至碱性(pH 10~12),导致 FeSO_4 以及 H_2O_2 和 Fe^{2+} 反应生成的 Fe^{3+} 形成 Fe(OH)_2 和 Fe(OH)_3 沉淀,二者在Fenton反应中都是活性很低的铁源^[2],无法为反应持续提供 Fe^{2+} 。因此在添加 FeSO_4 和SPB或SPC的处理中,仅观察到PCP在24 h内的一次性明显降解,而后在24~48 h降解无明显增加(图3)。Miao等^[11]使用低浓度等摩尔比的SPC和 FeSO_4 ,在水溶液中初始pH约6.5,能高效降解TCE。而在添加 H_2O_2 、UHP的处理中,pH保持在2~3之间, Fe^{2+} 和 Fe^{3+} 能够共同存在,Fenton反应能较好地持续进行,直到过氧化物在24 h内消耗完(图2)。添加CP的处理中,CP仅有小部分溶解,但溶液pH快速升至12以上,使 Fe(II) 源失活,同时CP缓慢溶解持续释放出 H_2O_2 ,为碱催化 H_2O_2 降解PCP提供了可能^[27~28]。因此在CP以及CP+ FeSO_4 的处理中观察到PCP有持续的降解(图3和图4)。可见,以 FeSO_4 为铁源时,添加固体过氧化物对体系pH的改变,极大程度上影响到 Fe^{2+} 的有效性,进而影响Fenton反应活性和持续性。

3.3 过氧化物与 $\text{Fe}_3(\text{PO}_4)_2$ 组合

使用固体铁源时,颗粒物表面催化作用以及溶液中可用 Fe(II) 的含量均是影响Fenton反应效率的重要因素^[16]。 H_2O_2 与 $\text{Fe}_3(\text{PO}_4)_2$ 组合中, $\text{Fe}_3(\text{PO}_4)_2$ 颗粒表面 Fe(II) 活性催化位点在反应初期快速催化 H_2O_2 产生·OH氧化降解PCP(图5),同时 Fe(II) 变成 Fe(III) 。但 Fe(III) 矿物是低效的Fenton铁源^[14],且与 H_2O_2 反应再生成 Fe(II) 较缓慢,致使颗粒物表面催化的Fenton反应因 Fe(III) 和 Fe(II) 循环的断链而减缓或终止。 $\text{Fe}_3(\text{PO}_4)_2$ 在水溶液中(25 °C)溶度积常数为 1.71×10^{-36} ,溶解平衡时 Fe^{2+} 浓度为 $8.3 \times 10^{-8} \text{ mol} \cdot \text{L}^{-1}$ ^[29]。在本研究中尽管固体 $\text{Fe}_3(\text{PO}_4)_2$ 添加量为 $1.1 \times 10^{-2} \text{ mol} \cdot \text{L}^{-1}$,但 $\text{Fe}_3(\text{PO}_4)_2$ 有限溶解使溶液中 Fe^{2+} 保持

低浓度($\leq 8.3 \times 10^{-8} \text{ mol} \cdot \text{L}^{-1}$),能够缓慢但持续催化 H_2O_2 氧化降解PCP。在第16 d测得溶液中 H_2O_2 仍有 $(54.2 \pm 1.1) \text{ mmol} \cdot \text{L}^{-1}$,远高于($> 6.5 \times 10^5$ 倍) Fe^{2+} 浓度,表明在实验期间 H_2O_2 处于大量过量状态,对生成的·OH有较大消耗作用。随反应进行,体系 H_2O_2 含量减少,对·OH的竞争消耗也随之减弱,同时部分PCP从石英砂中解吸使溶液中PCP含量增加,因此在实验后期(9~16 d)PCP平均降解速率反而有所增加。这说明在铁源和污染物均处于非均相体系时, H_2O_2 使用量还应该再降低,可以通过少量多次添加提高对有机物的去除效率^[30]。

在固体过氧化物与 $\text{Fe}_3(\text{PO}_4)_2$ 的组合中(图6),当致碱性过氧化物CP、SPB、SPC添加到水溶液中,溶液中 Fe^{2+} 和 Fe^{3+} 与 OH^- 结合生成 $\text{Fe(OH)}_2(K_{sp}=8 \times 10^{-16})$ 和 $\text{Fe(OH)}_3(K_{sp}=1 \times 10^{-36})$ ^[31],二者在碱性溶液中的溶解度远低于 $\text{Fe}_3(\text{PO}_4)_2$ 。同时,生成的 Fe(OH)_2 和 Fe(OH)_3 覆盖在 $\text{Fe}_3(\text{PO}_4)_2$ 颗粒表面可能阻碍 Fe^{2+} 的溶解,覆盖在石英砂表面阻碍PCP溶解或阻碍PCP与生成的活性氧化物接触。而在UHP或 $\text{H}_2\text{O}_2 + \text{Fe}_3(\text{PO}_4)_2$ 的处理中,pH稳定在4~5,溶液中 Fe^{2+} 含量比CP、SPB、SPC处理高出很多,因此在5~20 d内CP、SPB、SPC处理中PCP降解率增幅显著低于UHP和 H_2O_2 处理。

4 结论

(1)固体类Fenton试剂在20 d内对石英砂体系中PCP的去除率为8.6%~55.6%,与传统Fenton试剂(24 h内达84%)相比其去除率较低,但试剂的持续有效时间得到较大幅度延长,由小于24 h增加至20 d以上,故在土壤污染修复中具有更大潜力。

(2)致碱性过氧化物(CP、SPB、SPC)作为类Fenton试剂时需要配合pH缓冲剂以提高对有机物的降解率,而UHP在一定程度上可以替代 H_2O_2 。

(3)固体铁源 $\text{Fe}_3(\text{PO}_4)_2$ 溶解度过低,限制了其对PCP的降解速率,但其能够稳定提供 Fe^{2+} ,可以持续降解PCP。使用溶解度比 $\text{Fe}_3(\text{PO}_4)_2$ 稍高且稳定的固体铁源,有望提高有机物的降解速率和效率。

参考文献:

- Buxton G V, Greenstock C L, Helman W P, et al. Critical review of rate constants for reactions of hydrated electrons, hydrogen-atoms and hydroxyl radicals ($\cdot\text{OH}/\cdot\text{O}^-$) in aqueous-solution[J]. *Journal of Physical and Chemical Reference Data*, 1988, 17(2):513~886.
- Pignatello J J, Oliveros E, MacKay A. Advanced oxidation processes for organic contaminant destruction based on the Fenton reaction and relat-

- ed chemistry[J]. *Critical Reviews in Environmental Science and Technology*, 2006, 36(1):1–84.
- [3] Wang J L, Xu L J. Advanced oxidation processes for wastewater treatment: Formation of hydroxyl radical and application[J]. *Critical Reviews in Environmental Science and Technology*, 2012, 42(3):251–325.
- [4] Bautista P, Mohedano A F, Casas J A, et al. An overview of the application of Fenton oxidation to industrial wastewaters treatment[J]. *Journal of Chemical Technology and Biotechnology*, 2008, 83(10):1323–1338.
- [5] Watts R J, Teel A L. Chemistry of modified Fenton's reagent (catalyzed H₂O₂ propagations–CHP) for in situ soil and groundwater remediation [J]. *Journal of Environmental Engineering*, 2005, 131(4):612–622.
- [6] Petigara B R, Blough N V, Mignerey A C. Mechanisms of hydrogen peroxide decomposition in soils[J]. *Environmental Science & Technology*, 2002, 36(4):639–645.
- [7] Baciocchi R, Boni M R, D'Aprile L. Hydrogen peroxide lifetime as an indicator of the efficiency of 3-chlorophenol Fenton's and Fenton-like oxidation in soils[J]. *Journal of Hazardous Materials*, 2003, 96(2/3):305–329.
- [8] Watts R J, Foget M K, Kong S H, et al. Hydrogen peroxide decomposition in model subsurface systems[J]. *Journal of Hazardous Materials*, 1999, 69(2):229–243.
- [9] Northup A, Cassidy D. Calcium peroxide (CaO₂) for use in modified Fenton chemistry[J]. *Journal of Hazardous Materials*, 2008, 152(3):1164–1170.
- [10] Miao Z W, Gu X G, Lu S G, et al. Mechanism of PCE oxidation by percarbonate in a chelated Fe(Ⅱ)-based catalyzed system[J]. *Chemical Engineering Journal*, 2015, 275:53–62.
- [11] Miao Z W, Gu X G, Lu S G, et al. Perchloroethylene (PCE) oxidation by percarbonate in Fe²⁺-catalyzed aqueous solution: PCE performance and its removal mechanism[J]. *Chemosphere*, 2015, 119:1120–1125.
- [12] Fu X R, Gu X G, Lu S G, et al. Benzene depletion by Fe²⁺-catalyzed sodium percarbonate in aqueous solution[J]. *Chemical Engineering Journal*, 2015, 267:25–33.
- [13] Pignatello J J, Day M. Mineralization of methyl parathion insecticide in soil by hydrogen peroxide activated with iron(Ⅲ)-NTA or -HEIDA complexes[J]. *Hazardous Waste & Hazardous Materials*, 1996, 13(2):237–244.
- [14] Sun Y F, Pignatello J J. Chemical treatment of pesticide wastes—evaluation of Fe(Ⅲ) chelates for catalytic hydrogen-peroxide oxidation of 2, 4-D at circumneutral pH[J]. *Journal of Agricultural and Food Chemistry*, 1992, 40(2):322–327.
- [15] Watts R J, Udell M D, Kong S H, et al. Fenton-like soil remediation catalyzed by naturally occurring iron minerals[J]. *Environmental Engineering Science*, 1999, 16(1):93–103.
- [16] Matta R, Hanna K, Chiron S. Fenton-like oxidation of 2, 4, 6-trinitrotoluene using different iron minerals[J]. *Science of the Total Environment*, 2007, 385(1/3):242–251.
- [17] Huang H H, Lu M C, Chen J N. Catalytic decomposition of hydrogen peroxide and 2-chlorophenol with iron oxides[J]. *Water Research*, 2001, 35(9):2291–2299.
- [18] Kong S H, Watts R J, Choi J H. Treatment of petroleum-contaminated soils using iron mineral catalyzed hydrogen peroxide[J]. *Chemosphere*, 1998, 37(8):1473–1482.
- [19] Ardo S G, Nelieu S, Ona-Nguema G, et al. Oxidative degradation of nalidixic acid by nano-magnetite via Fe²⁺/O₂-mediated reactions[J]. *Environmental Science & Technology*, 2015, 49(7):4506–4514.
- [20] 裴欢, 毛飞, 司友斌. 纳米铁氧化物催化类 Fenton 反应降解抗生素磺胺[J]. 农业环境科学学报, 2015, 34(7):1356–1362.
- PEI Huan, MAO Fei, SI You-bin. Degradation of antibiotic sulfanilamide in aqueous solution via a heterogeneous Fenton-like reaction catalyzed by nano-iron oxides[J]. *Journal of Agro-Environment Science*, 2015, 34(7):1356–1362.
- [21] Pereira M C, Oliveira L C A, Murad E. Iron oxide catalysts: Fenton and Fenton-like reactions: A review[J]. *Clay Minerals*, 2012, 47(3):285–302.
- [22] Scaccia S, Carewska M, Di Bartolomeo A, et al. Thermoanalytical investigation of nanocrystalline iron(Ⅱ) phosphate obtained by spontaneous precipitation from aqueous solutions[J]. *Thermochimica Acta*, 2003, 397(1/2):135–141.
- [23] Nogueira R F, Oliveira M C, Paterlini W C. Simple and fast spectrophotometric determination of H₂O₂ in photo-Fenton reactions using metavanadate[J]. *Talanta*, 2005, 66(1):86–91.
- [24] Goi A, Viisimaa M, Trapido M, et al. Polychlorinated biphenyls-containing electrical insulating oil contaminated soil treatment with calcium and magnesium peroxides[J]. *Chemosphere*, 2011, 82(8):1196–1201.
- [25] 燕启社, 孙红文, 周长波, 等. 类 Fenton 氧化在污染土壤修复中的应用[J]. 生态环境, 2008, 17(1):216–220.
- YAN Qi-she, SUN Hong-wen, ZHOU Chang-bo, et al. Application of Like-Fenton oxidation on remediation of contaminated soil[J]. *Ecology and Environment*, 2008, 17(1):216–220.
- [26] McKillop A, Sanderson W R. Sodium perborate and sodium percarbonate: Cheap, safe and versatile oxidising agents for organic synthesis[J]. *Tetrahedron*, 1995, 51(22):6145–6166.
- [27] Ariienzo M. Degradation of 2, 4, 6-trinitrotoluene in water and soil slurry utilizing a calcium peroxide compound[J]. *Chemosphere*, 2000, 40(4):331–337.
- [28] Katafias A, Lipińska M, Strutyński K. Alkaline hydrogen peroxide as a degradation agent of methylene blue—kinetic and mechanistic studies [J]. *Reaction Kinetics, Mechanisms and Catalysis*, 2010, 101(2):251–266.
- [29] Al-Borno A, Tomson M B. The temperature dependence of the solubility product constant of vivianite[J]. *Geochimica et Cosmochimica Acta*, 1994, 58(24):5373–5378.
- [30] Chu W, Chan K H, Kwan C Y, et al. Degradation of atrazine by modified stepwise-Fenton's processes[J]. *Chemosphere*, 2007, 67(4):755–761.
- [31] Stumm W, Lee G F. Oxygenation of ferrous iron[J]. *Industrial & Engineering Chemistry*, 1961, 53(2):143–146.